



NASJONAL
SIKKERHETSMYNDIGHET

Kvantevandringer

over endelige grafer

Thomas Wilschow Thorbjørnsen

15. august 2021



Introduksjon

- 1 Introduksjon
- 2 Kvantemekanikk og kvanteberegninger
- 3 Grover's algoritme og Amplitudeforsterkningsteknikken
- 4 Kvantevandringer
- 5 Implementasjon og tester
- 6 Veien videre

Relevant kvante

- Hva er en tilstand?
- Hva er en måling?
- Hvordan virker en tidsutvikling?
- Hva er et sammensatt system?

Relevant kvante

Hva en tilstand er:

- En tilstand er en ket $|\psi\rangle$, en vektor i et Hilbertrom \mathcal{H} .
- Normen til ketten er enhet: $|||\psi\rangle|| = 1$

Eksempel: Spin opp, spin ned.

- Anta at det finnes en partikkel med tilstandene spin opp og spin ned.
- Dette kan modelleres som en ket $|\psi\rangle \in \mathbb{C}\{opp, ned\} = \mathbb{C}^2$
- Ketten er i en superposisjon $|\psi\rangle = \psi_o|opp\rangle + \psi_n|ned\rangle$

Relevant kvante

Hva en måling er:

- Gitt en observabel fysisk egenskap \mathcal{A} så finnes det en operator $A : \mathcal{H} \rightarrow \mathcal{H}$.
- Alle mulige målinger av \mathcal{A} er egenverdiene til A .
- Sjansen for å måle en gitt egenverdi a_n er gitt ved kvadratet av indreproduktet mellom tilstanden $|\psi\rangle$ og egenvektoren $|a_n\rangle$: $|\langle a_n | \psi \rangle|^2$.
- En måling kalles projektiv hvis operatoren A er en projeksjon.

Relevant kvante

Hvordan tidsutvikling virker:

- For at målinger skal gi reelle verdier er det tilstrekkelig at operatoren H i Schrödingers likning er hermitisk:

$$i\hbar \frac{d}{dt} |\psi(t)\rangle = H(t) |\psi(t)\rangle.$$

- En løsning av denne likningen medfører at operatoren U er unitær.

$$|\psi(t)\rangle = U(t) |\psi(0)\rangle$$

- Konsekvensen er at alle operasjoner vi skal se på er unitære.

Relevant kvante

Sammensatte systemer:

- Gitt to systemer \mathcal{H}_1 og \mathcal{H}_2 , så er det sammensatte systemet beskrevet av tensorproduktet: $\mathcal{H}_1 \otimes \mathcal{H}_2$.
- Tilstandene i sammensatte systemer er gitt ved summen av elementære tensorer av basisen.
- En tilstand kalles sammenfiltret, hvis det ikke kan skrives som nøyaktig en elementær tensor.
- Bell tilstanden; $\mathcal{H} = \mathbb{C}^2 \otimes \mathbb{C}^2$

$$\frac{1}{\sqrt{2}}(e_0 \otimes e_0 + e_1 \otimes e_1)$$

Kvanteberegninger; I

■ Bits vs. Qubits

$$\{0, 1\} \text{ vs. } \mathbb{C}\{0, 1\} = \mathbb{C}^2$$

$$0 \vee 1 \text{ vs. } q = q_0|0\rangle + q_1|1\rangle$$

■ Logiske kvanteporter

Kvanteberegninger; I

■ Bits vs. Qubits

$$\{0, 1\}^n \text{ vs. } \mathbb{C}\{0, 1\}^n = \mathbb{C}^{2^{\otimes n}}$$

$$00 \vee 01 \vee 10 \vee 11 \text{ vs. } q = q_{00}|00\rangle + q_{01}|01\rangle + q_{10}|10\rangle + q_{11}|11\rangle$$

■ Logiske kvanteporter

Kvanteberegninger; I

■ Bits vs. Qubits

$$\{0, 1\}^n \text{ vs. } \mathbb{C}\{0, 1\}^n = \mathbb{C}^{2^{\otimes n}}$$

$$00 \vee 01 \vee 10 \vee 11 \text{ vs. } q = q_{00}|00\rangle + q_{01}|01\rangle + q_{10}|10\rangle + q_{11}|11\rangle$$

■ Logiske kvanteporter

$$X = \begin{pmatrix} 0 & 1 \\ 1 & 0 \end{pmatrix} \quad \begin{aligned} X(|0\rangle) &= |1\rangle \\ X(|1\rangle) &= |0\rangle \end{aligned}$$

Kvanteberegninger; I

■ Bits vs. Qubits

$$\{0, 1\}^n \text{ vs. } \mathbb{C}\{0, 1\}^n = \mathbb{C}^{2^{\otimes n}}$$

$$00 \vee 01 \vee 10 \vee 11 \text{ vs. } q = q_{00}|00\rangle + q_{01}|01\rangle + q_{10}|10\rangle + q_{11}|11\rangle$$

■ Logiske kvanteporter

$$Y = \begin{pmatrix} 0 & -i \\ i & 0 \end{pmatrix} \quad \begin{aligned} Y(|0\rangle) &= i|1\rangle \\ Y(|1\rangle) &= -i|0\rangle \end{aligned}$$

Kvanteberegninger; I

■ Bits vs. Qubits

$$\{0, 1\}^n \text{ vs. } \mathbb{C}\{0, 1\}^n = \mathbb{C}^{2^{\otimes n}}$$

$$00 \vee 01 \vee 10 \vee 11 \text{ vs. } q = q_{00}|00\rangle + q_{01}|01\rangle + q_{10}|10\rangle + q_{11}|11\rangle$$

■ Logiske kvanteporter

$$Z = \begin{pmatrix} 1 & 0 \\ 0 & -1 \end{pmatrix} \quad \begin{aligned} Z(|0\rangle) &= |0\rangle \\ Z(|1\rangle) &= -|1\rangle \end{aligned}$$

Kvanteberegninger; I

■ Bits vs. Qubits

$$\{0, 1\}^n \text{ vs. } \mathbb{C}\{0, 1\}^n = \mathbb{C}^{2^{\otimes n}}$$

$$00 \vee 01 \vee 10 \vee 11 \text{ vs. } q = q_{00}|00\rangle + q_{01}|01\rangle + q_{10}|10\rangle + q_{11}|11\rangle$$

■ Logiske kvanteporter

$$H = \frac{1}{\sqrt{2}} \begin{pmatrix} 1 & 1 \\ 1 & -1 \end{pmatrix} \quad \begin{aligned} H(|0\rangle) &= 1/\sqrt{2}(|0\rangle + |1\rangle) \\ H(|1\rangle) &= 1/\sqrt{2}(|0\rangle - |1\rangle) \end{aligned}$$

Kvanteberegninger; I

■ Bits vs. Qubits

$$\{0, 1\}^n \text{ vs. } \mathbb{C}\{0, 1\}^n = \mathbb{C}^{2^{\otimes n}}$$

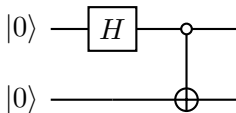
$$00 \vee 01 \vee 10 \vee 11 \text{ vs. } q = q_{00}|00\rangle + q_{01}|01\rangle + q_{10}|10\rangle + q_{11}|11\rangle$$

■ Logiske kvanteporter

$$CNOT = \begin{pmatrix} 1 & 0 & 0 & 0 \\ 0 & 1 & 0 & 0 \\ 0 & 0 & 0 & 1 \\ 0 & 0 & 1 & 0 \end{pmatrix} \quad \begin{aligned} CNOT(|00\rangle) &= |00\rangle \\ CNOT(|01\rangle) &= |01\rangle \\ CNOT(|10\rangle) &= |11\rangle \\ CNOT(|11\rangle) &= |10\rangle \end{aligned}$$

Kvanteberegninger; II

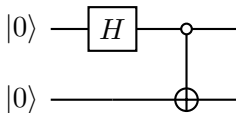
■ Bell state



$$\iff CNOT \circ (H \otimes I)$$

Kvanteberegninger; II

■ Bell state

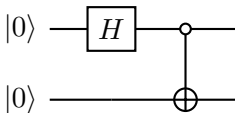


$$\iff CNOT \circ (H \otimes I)$$

■ Universelle porter

Kvanteberegninger; II

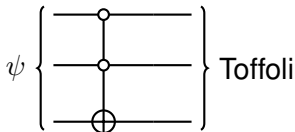
■ Bell state



$$\iff CNOT \circ (H \otimes I)$$

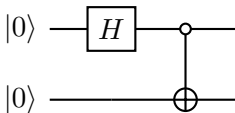
■ Universelle porter

■ Simulere klassiske beregninger



Kvanteberegninger; II

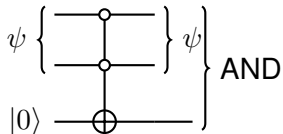
■ Bell state



$$\iff CNOT \circ (H \otimes I)$$

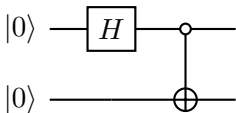
■ Universelle porter

■ Simulere klassiske beregninger



Kvanteberegninger; II

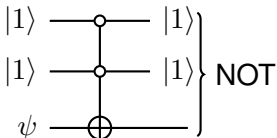
■ Bell state



$$\iff CNOT \circ (H \otimes I)$$

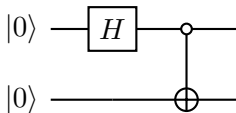
■ Universelle porter

■ Simulere klassiske beregninger



Kvanteberegninger; II

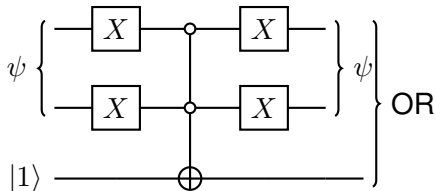
■ Bell state



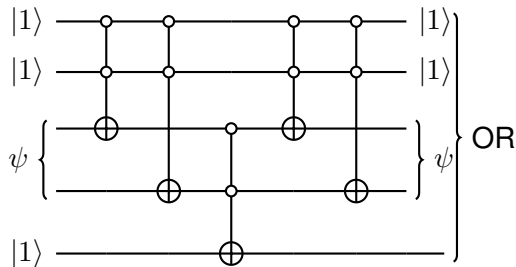
$$\iff CNOT \circ (H \otimes I)$$

■ Universelle porter

■ Simulere klassiske beregninger



Kvanteberegninger; III



Orakler

- Algoritmer trenger å spørre på en eller annen måte
- Kvanteparallelisme
- Merkeorakler

$$\begin{aligned}f &: \{0, 1\}^n \rightarrow \{0, 1\} \\ \mathcal{O}_f &: \mathbb{C}\{0, 1\}^n \otimes \mathbb{C}\{0, 1\} \rightarrow \mathbb{C}\{0, 1\}^n \otimes \mathbb{C}\{0, 1\} \\ |x\rangle|y\rangle &\mapsto |x\rangle|y \oplus f(x)\rangle\end{aligned}$$

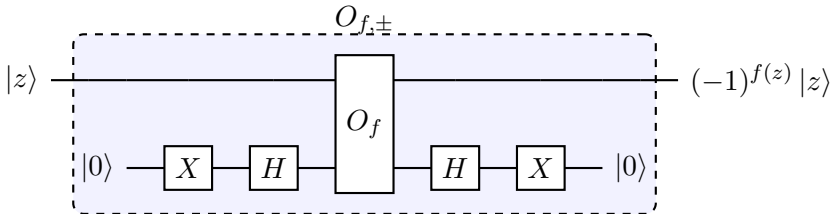
Orakler

- Algoritmer trenger å spørre på en eller annen måte
- Kvanteparallelisme
- Faseorakler

$$\begin{aligned}f &: \{0, 1\}^n \rightarrow \{0, 1\} \\ \mathcal{O}_{f,\pm} &: \mathbb{C}\{0, 1\}^n \rightarrow \mathbb{C}\{0, 1\}^n \\ |x\rangle &\mapsto (-1)^{f(x)}|x\rangle\end{aligned}$$

Orakler

- Algoritmer trenger å spørre på en eller annen måte
- Transformere merkeorakel til faseorakel



Deutsch-Jozsa

- Problemet:

- La $f : \{0, 1\}^n \rightarrow \{0, 1\}$ være en funksjon som enten er konstant eller balansert (50% er 0 og 50% er 1).

- Mål: Finne ut om f er konstant eller balansert.

Deutsch-Jozsa

■ Problemet:

- La $f : \{0, 1\}^n \rightarrow \{0, 1\}$ være en funksjon som enten er konstant eller balansert (50% er 0 og 50% er 1).

■ Mål: Finne ut om f er konstant eller balansert.

■ Klassisk løsning:

- 1 Evaluere f i $\frac{2^n}{2} + 1$ elementer.
- 2 Hvis alle er 0 eller 1 fastslå konstant, hvis ikke fastslå balansert.

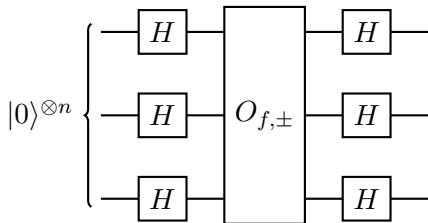
Deutsch-Jozsa

■ Problemet:

- La $f : \{0, 1\}^n \rightarrow \{0, 1\}$ være en funksjon som enten er konstant eller balansert (50% er 0 og 50% er 1).

■ Mål: Finne ut om f er konstant eller balansert.

■ Kvante løsning:



Grover's algoritme; I

- Problemet:

- La $f : \{0, 1\}^n \rightarrow \{0, 1\}$ være en funksjon

- Mål: Finne et element som evalueres til 1.

Grover's algoritme; I

- Problemet:

- La $f : \{0, 1\}^n \rightarrow \{0, 1\}$ være en funksjon

- Mål: Finne et element som evalueres til 1.

- Klassisk løsning:

- 1 Evaluer hvert element fra 0 til $2^n - 1$.

- 2 Stopp når man finner et element z slik at $f(z) = 1$.

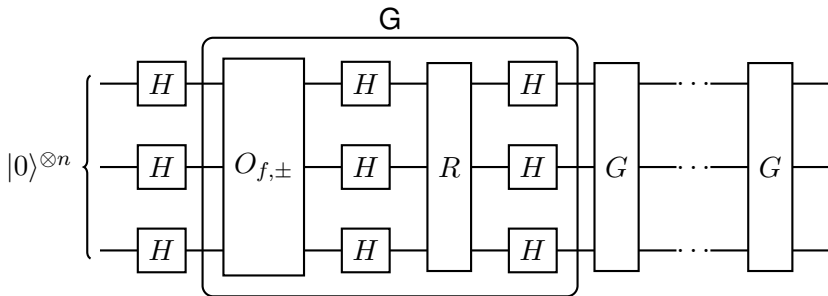
Grover's algoritme; I

■ Problemet:

■ La $f : \{0, 1\}^n \rightarrow \{0, 1\}$ være en funksjon

■ Mål: Finne et element som evalueres til 1.

■ Kvante løsning:



Grover's algoritme; II

■ Hva er R?

$$R = \begin{pmatrix} 1 & 0 & 0 & \dots \\ 0 & -1 & 0 & \dots \\ 0 & 0 & -1 & \dots \\ \vdots & \vdots & \vdots & \ddots \end{pmatrix} = 2|0\rangle^{\otimes n}\langle 0|^{\otimes n} - I$$

■ Hva er $H^{\otimes n}RH^{\otimes n}$?

$$H^{\otimes n}RH^{\otimes n} = 2(H|0\rangle\langle 0|H)^{\otimes n} - I = 2dd^* - I$$

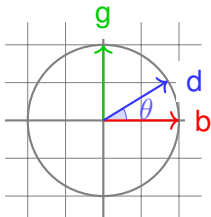
$$d = \frac{1}{\sqrt{2^n}} \sum_{z=0}^{2^n-1} |z\rangle$$

Grover's algoritme, III

■ Definer to tilstander

$$g = \frac{1}{\sqrt{t}} \sum_{f(z)=1} |z\rangle$$

$$b = \frac{1}{\sqrt{2^n - t}} \sum_{f(z)=0} |z\rangle$$



■ Velg θ

$$\theta = \arcsin\left(\frac{\sqrt{t}}{\sqrt{2^n}}\right)$$

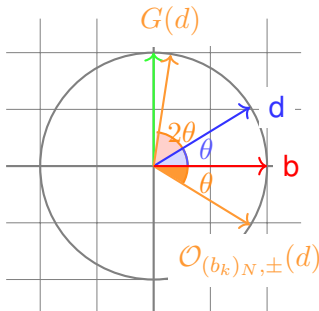
$$d = \sin(\theta)g + \cos(\theta)b$$

Grover's algoritme; IV

- $\mathcal{O}_{f,\pm}$ er en refleksjon i planet $\mathbb{C}\{g, b\}$.

$$\mathcal{O}_{f,\pm}(g) = -g$$

$$\mathcal{O}_{f,\pm}(b) = b$$



Grover's algoritme; V

■ Kjøretidsanalyse

$$\begin{aligned} G(d) &= \sin(3\theta)g + \cos(3\theta)b \\ \implies G^k(d) &= \sin((2k+1)\theta)g + \cos((2k+1)\theta)b \end{aligned}$$

■ Maksima når $\sin((2k+1)\theta) = 1$

$$\begin{aligned} k &= \frac{\pi}{4\theta} - \frac{1}{2} \approx \lfloor \frac{\pi}{4 \arcsin(\sqrt{t}/\sqrt{N})} \rfloor \\ p &= \sin((1 + 2\lfloor \frac{\pi}{4 \arcsin(\sqrt{t}/\sqrt{N})} \rfloor) \arcsin(\sqrt{t}/\sqrt{N})) \end{aligned}$$

Grover's algoritme; V

■ Kjøretidsanalyse

$$G(d) = \sin(3\theta)g + \cos(3\theta)b$$
$$\implies G^k(d) = \sin((2k+1)\theta)g + \cos((2k+1)\theta)b$$

■ $\sin(\sqrt{t}/\sqrt{N}) \approx \sqrt{t}/\sqrt{N}$ når $N \gg 1$.

$$k = \lfloor \frac{\pi\sqrt{N}}{4\sqrt{t}} \rfloor$$

$$p = \sin((1 + 2\lfloor \frac{\pi\sqrt{N}}{4\sqrt{t}} \rfloor) \frac{\sqrt{t}}{\sqrt{N}})$$

Amplitudeforsterkningsteknikken

■ Sannsynlighetforsterkning

- Anta at A er en klassisk Monte Carlo algoritme
- Anta at vi kan sjekke om en løsning er korrekt i polynom tid
- La ψ_0 være inputet og $\psi = A(\psi_0)$ være et output
- Anta at p er sannsynligheten for at ψ er et korrekt svar
- Hvordan kan vi forbedre algoritmen og øke sjansen for at A gir oss riktig svar?

Amplitudeforsterkningsteknikken

■ Sannsynlighetforsterkning

- Anta at A er en klassisk Monte Carlo algoritme
- Anta at vi kan sjekke om en løsning er korrekt i polynom tid
- La ψ_0 være inputet og $\psi = A(\psi_0)$ være et output
- Anta at p er sannsynligheten for at ψ er et korrekt svar
- Hvordan kan vi forbedre algoritmen og øke sjansen for at A gir oss riktig svar?
- Vi kjører A flere ganger, si n ganger.
- Hvis $p \ll 1$ så gir $n = 1/p$ et godt estimat for maksima.

Amplitudeforsterkningsteknikken

- Anta at A er en kvantealgoritme
- La ψ_0 være inputet og $\psi = A(\psi_0)$ være et output
- Anta at det finnes et faseorakel \mathcal{O}_\pm som sjekker om outputet er korrekt
- Anta at p er sannsynligheten for at ψ er et korrekt svar
- Hvordan kan vi forbedre algoritmen og øke sjansen for at A gir oss riktig svar?

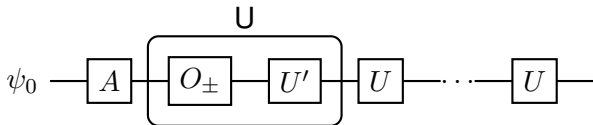
Amplitudeforsterkningsteknikken

- Algoritme A , input ψ_0 , output ψ , faseorakel \mathcal{O}_\pm og p
- Hvordan kan vi forbedre algoritmen og øke sjansen for at A gir oss riktig svar?

Amplitudeforsterkningsteknikken

- Algoritme A , input ψ_0 , output ψ , faseorakel \mathcal{O}_\pm og p
- Hvordan kan vi forbedre algoritmen og øke sjansen for at A gir oss riktig svar?

$$U' = 2|\psi\rangle\langle\psi| - I$$



Amplitudeforsterkningsteknikken

- Algoritme A , input ψ_0 , output ψ , faseorakel \mathcal{O}_\pm og p
- Hvordan kan vi forbedre algoritmen og øke sjansen for at A gir oss riktig svar?

$$\psi = \sum_{z:\{0, 1\}^n} \zeta_z |z\rangle$$

$$g = \frac{1}{\sqrt{p}} \sum_{f(z)=1} \zeta_z |z\rangle$$

$$b = \frac{1}{\sqrt{1-p}} \sum_{f(z)=0} \zeta_z |z\rangle$$

$$\theta = \arcsin(\sqrt{p})$$

$$k = \lfloor \frac{\pi}{4 \arcsin(\sqrt{p})} \rfloor \approx \lfloor \frac{\pi}{4\sqrt{p}} \rfloor$$

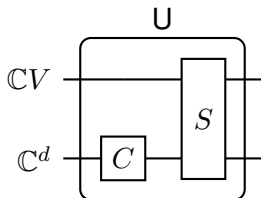
$$p' \approx \sin^2(\frac{\pi}{2} + \sqrt{p})$$

Kvantevandringer

- Generalisering av Grover's algoritme
- Hva er en graf? $G = (V, E)$; $\mathcal{H} = \mathbb{C}V$
- Lokale operatorer
- Komponenter til andre algoritmer
- Myntede vandringar
 - Position-coin notation
 - Arc notation
- Umyntede vandringar
- QSS

Position-coin notation

- d -regulær, d -kantkromatisk graf
- Fra enhver node, velger vi en farge og følger den
- $\mathcal{H} = \mathbb{C}V \otimes \mathbb{C}^d$



S er flip-flop operatoren

$$S^2 = I$$

C er coin operatoren

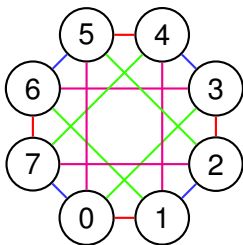
Position-coin notation

- d -regulær, d -kantkromatisk graf
- Fra enhver node, velger vi en farge og følger den
- $\mathcal{H} = \mathbb{C}V \otimes \mathbb{C}^d$

S er definert av
fargeleggingen

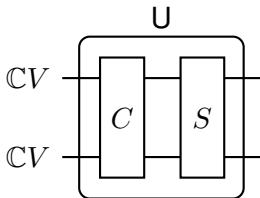
Vi kan velge C

$$C = H \otimes H$$



Arc notation

- Virker på generelle grafer
- Kan tolkes som en vandring på kantene istedenfor nodene
- $\mathcal{H} = \bigoplus_{v:V} \mathbb{C}\{u : V \mid (v, u) : E\} \simeq \bigoplus_{v:V} \mathbb{C}^{deg(v)}$
- $\mathcal{H} \subseteq \mathbb{C}V \otimes \mathbb{C}V$



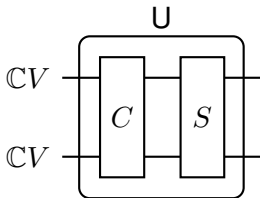
S er flip-flop operatoren

$$S^2 = I$$

$$S(v, u) = u \otimes v$$

Arc notation

- Virker på generelle grafer
- Kan tolkes som en vandring på kantene istedenfor nodene
- $\mathcal{H} = \bigoplus_{v:V} \mathbb{C}\{u : V \mid (v, u) : E\} \simeq \bigoplus_{v:V} \mathbb{C}^{deg(v)}$
- $\mathcal{H} \subseteq \mathbb{C}V \otimes \mathbb{C}V$



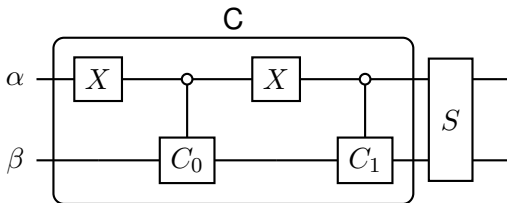
C er coin operatoren

For enhver $v : V$ har vi en lokal
mynt C_v s.a.

$$C = \bigoplus_{v:V} C_v$$

Arc notation

- Virker på generelle grafer
- Kan tolkes som en vandring på kantene istedenfor nodene
- $\mathcal{H} = \bigoplus_{v:V} \mathbb{C}\{u : V \mid (v, u) : E\} \simeq \bigoplus_{v:V} \mathbb{C}^{\deg(v)}$
- $\mathcal{H} \subseteq \mathbb{C}V \otimes \mathbb{C}V$
- Anta at $V = \{0, 1\}$, og at G er den komplette grafen



Arc notation

- Virker på generelle grafer
- Kan tolkes som en vandring på kantene istedenfor nodene
- $\mathcal{H} = \bigoplus_{v:V} \mathbb{C}\{u : V \mid (v, u) : E\} \simeq \bigoplus_{v:V} \mathbb{C}^{\deg(v)}$
- $\mathcal{H} \subseteq \mathbb{C}V \otimes \mathbb{C}V$

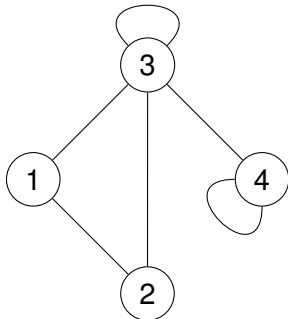
Velg C som følger:

$$C_1 \simeq H$$

$$C_2 \simeq H$$

$$C_3 \simeq H \otimes H$$

$$C_4 \simeq H$$



Kvantemynter

- Hadamardmynten

- $\dim(\mathcal{H}_C) = 2^n$

$$H_M = H^{\otimes n}$$

- $n = 2$

$$H_M = \frac{1}{2} \begin{pmatrix} 1 & 1 & 1 & 1 \\ 1 & -1 & 1 & -1 \\ 1 & 1 & -1 & -1 \\ 1 & -1 & -1 & 1 \end{pmatrix}$$

- Grovermynten

- Fouriermynten

Kvantemynter

- Hadamardmynten
- Grovermynten
 - $\dim(\mathcal{H}_C) = n$

$$d = \frac{1}{\sqrt{n}} \sum_{i=0}^{n-1} |i\rangle$$

$$G_M = 2dd^* - I$$

- Anta $n = 4$

$$G_M = \frac{1}{2} \begin{pmatrix} -1 & 1 & 1 & 1 \\ 1 & -1 & 1 & 1 \\ 1 & 1 & -1 & 1 \\ 1 & 1 & 1 & -1 \end{pmatrix}$$

- Fouriermynten

Kvantemynter

- Hadamardmynten
- Grovermynten
- Fouriermynten
 - $\dim(\mathcal{H}_C) = n$

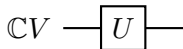
$$F_M = F_n$$

- La $\omega_{k,l} = e^{\frac{2\pi i k l}{n}}$

$$F_n = \frac{1}{\sqrt{n}} (\omega_{k,l})_{(k,l): \{0, \dots, n-1\} \times \{0, \dots, n-1\}}$$

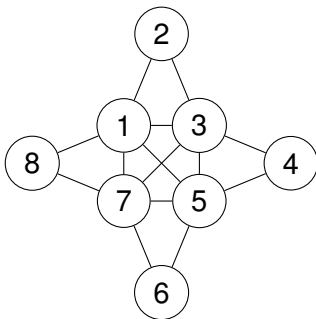
Staggered model

- Umyntet kvantevandring
- Bruker graftessellingering for å definere U
- $\mathcal{H} = \mathbb{C}V$



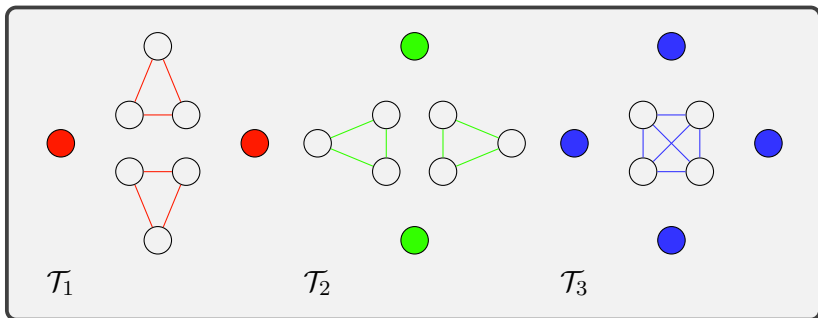
Staggered model

- Umyntet kvantevandring
- Bruker graftessellingering for å definere U
- $\mathcal{H} = \mathbb{C}V$



Staggered model

- Umyntet kvantevandring
- Bruker graftessellingering for å definere U
- $\mathcal{H} = \mathbb{C}V$



Staggered model

- Umyntet kvantevandring
- Bruker graftessellingering for å definere U
- $\mathcal{H} = \mathbb{C}V$

$$\mathbb{C}V \text{ --- } \boxed{U} \text{ ---}$$

- $U = \circ_i H_{\mathcal{T}_i}$

$$H_{\mathcal{T}_i} = 2 \sum_{\alpha: \mathcal{T}_i} \alpha \alpha^* - I$$

Grensepunktet og quasi-periodisitet

- Hva skjer med kvantevandringen når $\lim_{k \rightarrow \infty} U^k(\psi_0)$?

Grensepunktet og quasi-periodisitet

- Hva skjer med kvantevandringen når $\lim_{k \rightarrow \infty} U^k(\psi_0)$?
- $\|U^{k+1}(\psi_0) - U^k(\psi_0)\|$ er konstant for alle k
- Grensen konverger kun om ψ_0 er et fikspunkt for U

Grensepunktet og quasi-periodisitet

- Hva skjer med kvantevandringen når $\lim_{k \rightarrow \infty} U^k(\psi_0)$?
- $\|U^{k+1}(\psi_0) - U^k(\psi_0)\|$ er konstant for alle k
- Grensen konverger kun om ψ_0 er et fikspunkt for U
- Finnes det en k slik at $U^k\psi_0 = \psi_0$?

Grensepunktet og quasi-periodisitet

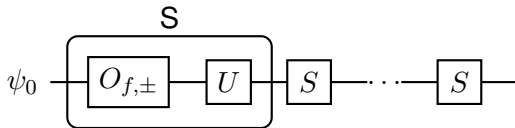
- Hva skjer med kvantevandringen når $\lim_{k \rightarrow \infty} U^k(\psi_0)$?
- $\|U^{k+1}(\psi_0) - U^k(\psi_0)\|$ er konstant for alle k
- Grensen konverger kun om ψ_0 er et fikspunkt for U
- Finnes det en k slik at $U^k\psi_0 = \psi_0$?
- Nei, dette gjelder ikke generelt
- Vi kan derimot finne en k slik at $\|U^k\psi_0 - \psi_0\| < \epsilon$ for en gitt $\epsilon > 0$

$$U = \begin{pmatrix} e^{2\pi i \lambda_1} & 0 \\ 0 & e^{2\pi i \lambda_2} \end{pmatrix}.$$

- Tilnærm $\lambda_i \approx a_i/b_i$, deretter sett $k = b_1 b_2$

Quantum Spatial Search

- La $G = (V, E)$ og $f : V \rightarrow \{0, 1\}$ slik at nøyaktig 1 $v : V$ tilfredstiller $f(v) = 1$
- Hvordan kan vi finne v ?



- Kjøretiden k er gitt ved å maksimere følgende funksjon

$$p(k) = |\langle v | S^k \psi_0 \rangle|^2$$

- Grover er en optimal QSS algoritme

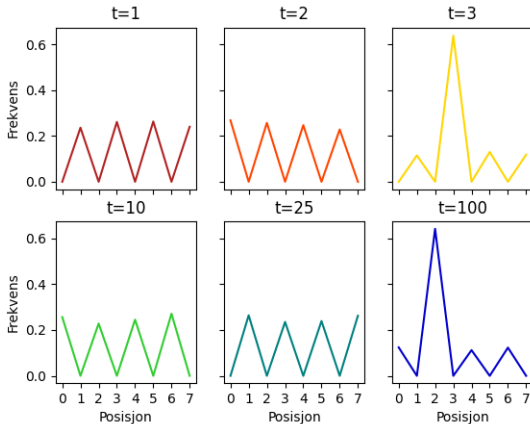


Kvantespråk

- Qiskit
- Q#
- Cirq
- Openq/Quantpy
- Quipper
- Quantum IO Monad

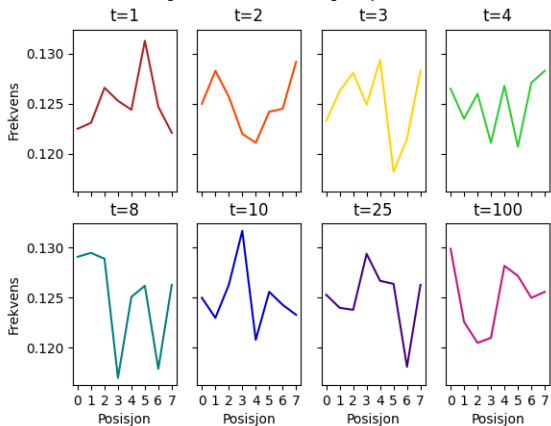
Position-coin simulering

Figur 7 Kvantevandring



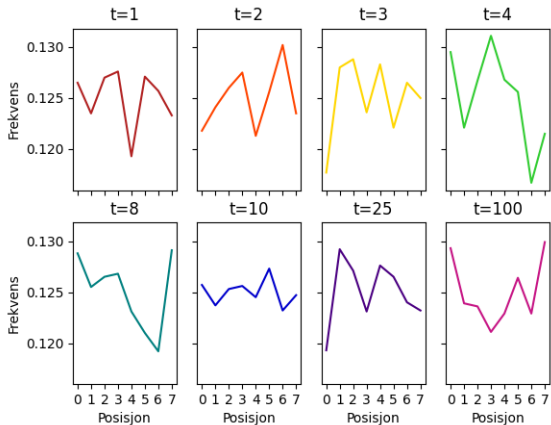
Position-coin simulering

Figur 7 Kvantevandring; Rep = 10000



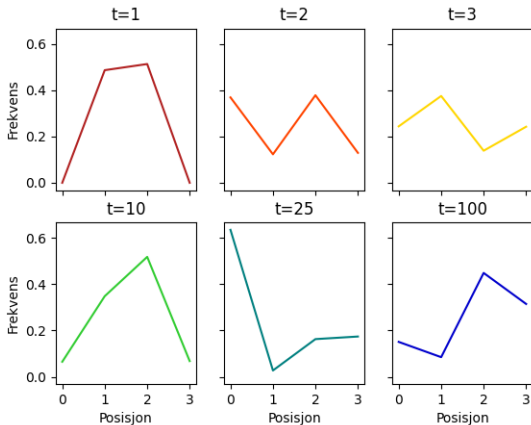
Position-coin simulering

Figur 7 Kvantevandring; Rep = 10000



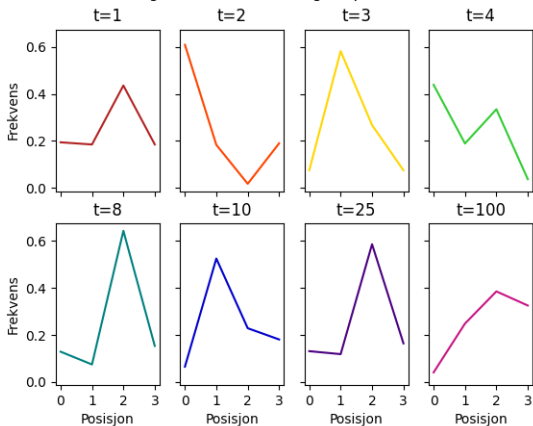
Arc simulering

Figur 9 Kvantevandring; Rep = 10000



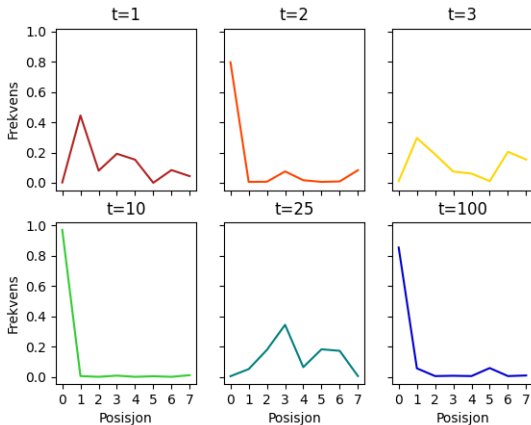
Arc simulering

Figur 9 Kvantevandring; Rep = 10000



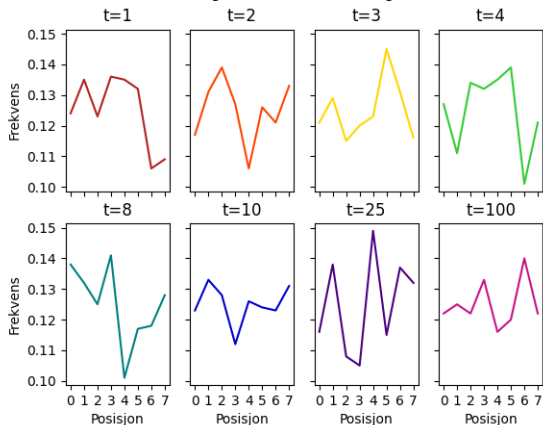
Staggered simulering

Figur 10 Kvantevandring



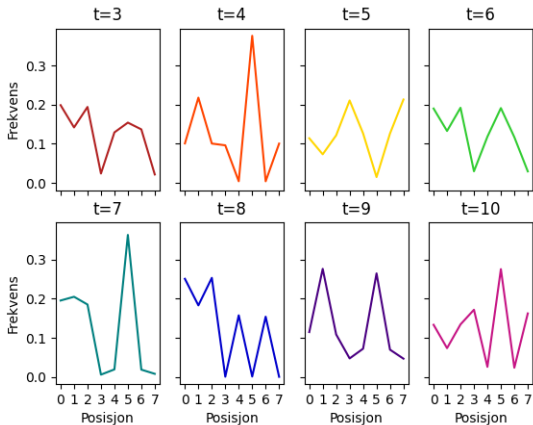
Staggered simulering

Figur 10 Kvantevandring



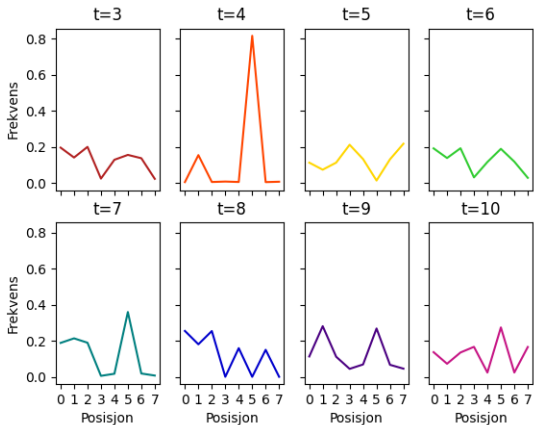
QSS simulering

Figur 9 Kvantevandring; Rep = 10000



QSS simulering

Figur 10 Kvantevandring; Rep = 10000



Hvor kan man gå videre?

- Szegedy vandring
- Kontinuerlige Kvantevandringer
- Flyt og elektriske nettverk
- Kriterier for optimalitet av kvantevandringer
- Kvantevandringer over grafer med mer struktur
- Hvordan bruke kvantevandringer til å løse problemer



NASJONAL
SIKKERHETSMYNDIGHET

**Thomas Wilschow
Thorbjørnsen**

Kvantevandringer
over endelige grafer

